A propos des fonctions continues qui ne sont dérivables en aucun point

Céline ESSER
Celine.Esser@ulg.ac.be

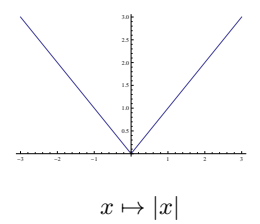
Université de Liège - Département de Mathématique

Brussels Summer School of Mathematics

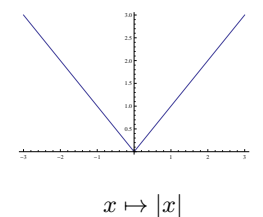
3 août 2015

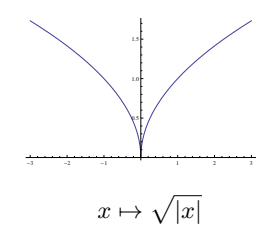
Des fonctions non-dérivables?

Des fonctions non-dérivables?

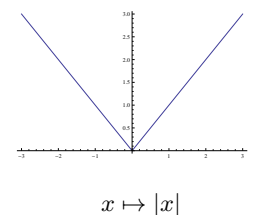


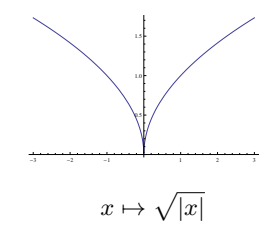
Des fonctions non-dérivables?

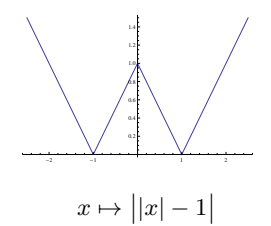




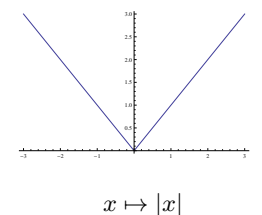
Des fonctions non-dérivables?

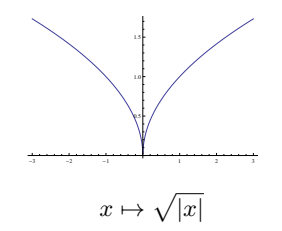


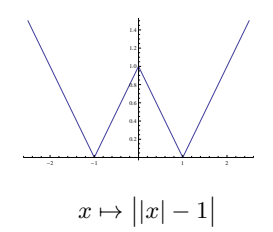


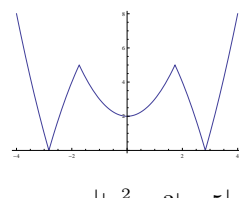


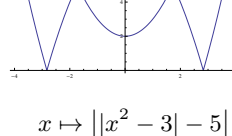
Des fonctions non-dérivables?



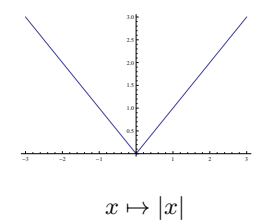


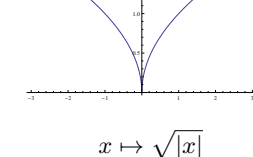


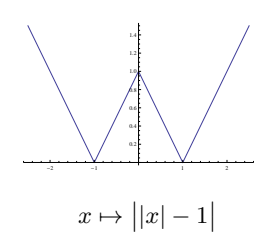


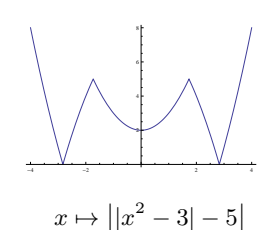


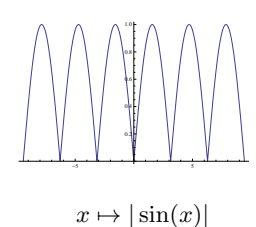
Des fonctions non-dérivables?



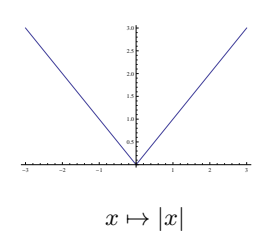


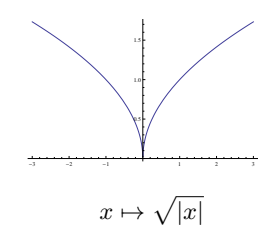


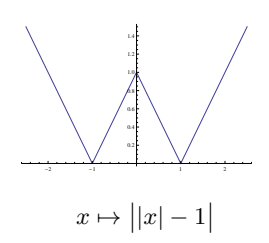


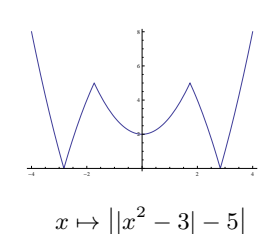


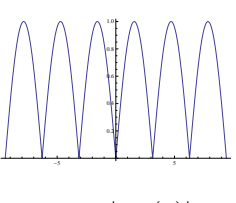
Des fonctions non-dérivables?

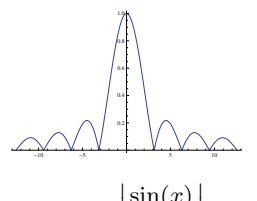




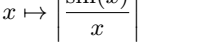








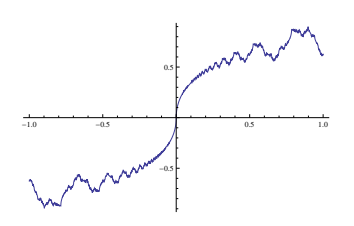
$$x \mapsto |\sin(x)|$$

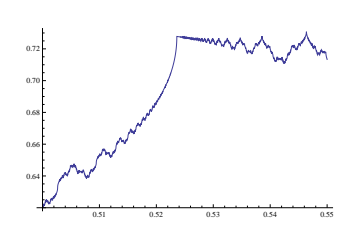


· Riemann 1861. La fonction

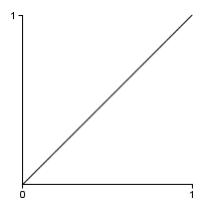
$$R(x) = \sum_{k=1}^{+\infty} \frac{1}{k^2} \sin(k^2 x), \quad x \in \mathbb{R}$$

est dérivable uniquement en les points $\frac{p\pi}{q}$ où p et q sont des entiers impairs.



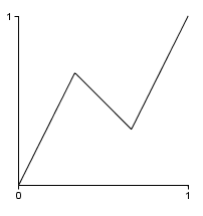


- Riemann 1861.
- Bolzano 1830. Première construction d'une fonction nulle part dérivable.



• On part d'un segment joignant le point (0,0) au point (1,1)

- Riemann 1861.
- Bolzano 1830. Première construction d'une fonction nulle part dérivable.



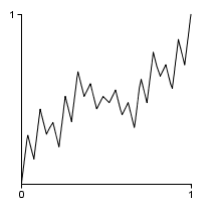
- On part d'un segment joignant le point (0,0) au point (1,1)
- On le coupe en trois segments égaux, on fixe les extrémités initiales et on double la pente des deux segments extrêmes, et on transforme le segment intermédiaire afin de garder la continuité

- Riemann 1861.
- Bolzano 1830. Première construction d'une fonction nulle part dérivable.



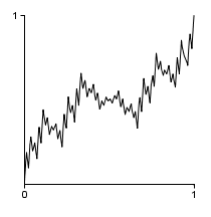
- On part d'un segment joignant le point (0,0) au point (1,1)
- On le coupe en trois segments égaux, on fixe les extrémités initiales et on double la pente des deux segments extrêmes, et on transforme le segment intermédiaire afin de garder la continuité
- On applique la construction précédente à chacun des trois segments de cette ligne brisée, et ainsi de suite...

- Riemann 1861.
- Bolzano 1830. Première construction d'une fonction nulle part dérivable.



- On part d'un segment joignant le point (0,0) au point (1,1)
- On le coupe en trois segments égaux, on fixe les extrémités initiales et on double la pente des deux segments extrêmes, et on transforme le segment intermédiaire afin de garder la continuité
- On applique la construction précédente à chacun des trois segments de cette ligne brisée, et ainsi de suite...

- · Riemann 1861.
- Bolzano 1830. Première construction d'une fonction nulle part dérivable.



- On part d'un segment joignant le point (0,0) au point (1,1)
- On le coupe en trois segments égaux, on fixe les extrémités initiales et on double la pente des deux segments extrêmes, et on transforme le segment intermédiaire afin de garder la continuité
- On applique la construction précédente à chacun des trois segments de cette ligne brisée, et ainsi de suite...

- Riemann 1861.
- Bolzano 1830. Première construction d'une fonction nulle part dérivable.



- On part d'un segment joignant le point (0,0) au point (1,1)
- On le coupe en trois segments égaux, on fixe les extrémités initiales et on double la pente des deux segments extrêmes, et on transforme le segment intermédiaire afin de garder la continuité
- On applique la construction précédente à chacun des trois segments de cette ligne brisée, et ainsi de suite...

- Riemann 1861.
- Bolzano 1830. Première construction d'une fonction nulle part dérivable.



Cela revient à itérer l'opérateur

$$T(f)(x) = \begin{cases} \frac{2}{3}f(3x) & \text{si } x \in \left[0, \frac{1}{3}\right] \\ \frac{2}{3} - \frac{1}{3}f(3x - 1) & \text{si } x \in \left[\frac{1}{3}, \frac{2}{3}\right] \\ \frac{1}{3} + \frac{2}{3}f(3x - 2) & \text{si } x \in \left[\frac{2}{3}, 0\right] \end{cases}$$

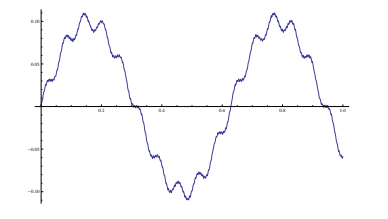
à partir de la fonction $x \mapsto x$.

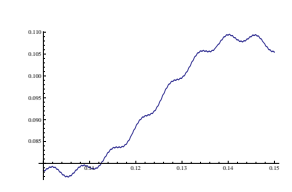


- Riemann 1861.
- Bolzano 1830. Première construction d'une fonction nulle part dérivable.
- Cellérier 1860. Soit a > 1000 est un entier pair. La fonction

$$C(x) = \sum_{k=1}^{+\infty} \frac{1}{a^k} \sin(a^k x), \quad x \in \mathbb{R},$$

n'est dérivable en aucun point.



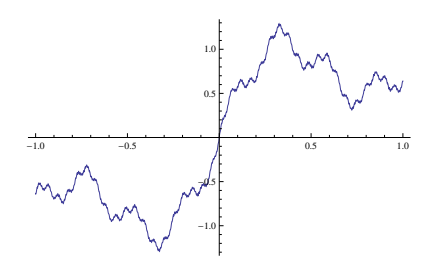


- Riemann 1861.
- Bolzano 1830. Première construction d'une fonction nulle part dérivable.
- · Cellérier 1860.
- Weierstrass 1872. Premier exemple publié.

- Riemann 1861.
- Bolzano 1830. Première construction d'une fonction nulle part dérivable.
- Cellérier 1860.
- Weierstrass 1872. Premier exemple publié.
- Darboux 1873.

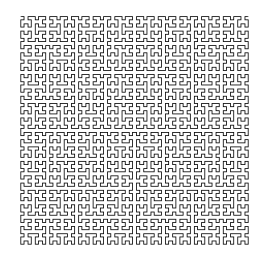
- Riemann 1861.
- Bolzano 1830. Première construction d'une fonction nulle part dérivable.
- · Cellérier 1860.
- · Weierstrass 1872. Premier exemple publié.
- Darboux 1873.

$$D(x) = \sum_{k=1}^{+\infty} \frac{1}{k!} \sin((k+1)!x), \quad x \in \mathbb{R}.$$

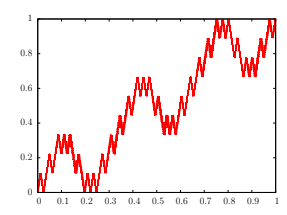


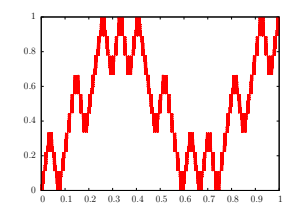
- Riemann 1861.
- Bolzano 1830. Première construction d'une fonction nulle part dérivable.
- · Cellérier 1860.
- · Weierstrass 1872. Premier exemple publié.
- Darboux 1873.
- Peano 1890. Premier exemple d'une courbe "qui remplit l'espace"

- Riemann 1861.
- Bolzano 1830. Première construction d'une fonction nulle part dérivable.
- Cellérier 1860.
- · Weierstrass 1872. Premier exemple publié.
- Darboux 1873.
- Peano 1890. Premier exemple d'une courbe "qui remplit l'espace": fonction continue sur l'intervalle [0,1] surjective dans le carré $[0,1] \times [0,1]$. Construction basée sur la décomposition en base 3. Ses composantes sont continues et nulle part dérivables.



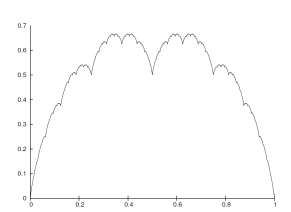
- Riemann 1861.
- Bolzano 1830. Première construction d'une fonction nulle part dérivable.
- Cellérier 1860.
- · Weierstrass 1872. Premier exemple publié.
- Darboux 1873.
- Peano 1890. Premier exemple d'une courbe "qui remplit l'espace": fonction continue sur l'intervalle [0,1] surjective dans le carré $[0,1] \times [0,1]$. Construction basée sur la décomposition en base 3. Ses composantes sont continues et nulle part dérivables.





- Riemann 1861.
- Bolzano 1830. Première construction d'une fonction nulle part dérivable.
- Cellérier 1860.
- Weierstrass 1872. Premier exemple publié.
- Darboux 1873.
- Peano 1890. Premier exemple d'une courbe "qui remplit l'espace"
- Takagi 1903.

$$T(x) = \sum_{n=0}^{+\infty} \frac{1}{2^n} \mathrm{dist}(2^n x, \mathbb{Z})$$



Bruxelles, Août 2015

- Riemann 1861.
- Bolzano 1830. Première construction d'une fonction nulle part dérivable.
- · Cellérier 1860.
- Weierstrass 1872. Premier exemple publié.
- Darboux 1873.
- · Peano 1890. Premier exemple d'une courbe "qui remplit l'espace"
- Takagi 1903.
- Etc.

"Je me détourne avec horreur et effroi de cette plaie lamentable des fonctions continues qui n'ont point de dérivées" (Correspondance de Hermite à Stiltjes, 1893) "Je me détourne avec horreur et effroi de cette plaie lamentable des fonctions continues qui n'ont point de dérivées" (Correspondance de Hermite à Stiltjes, 1893)

Contredit l'intuition: Fonction continue $\not\approx$ on peut la dessiner sans lever le crayon!

"Je me détourne avec horreur et effroi de cette plaie lamentable des fonctions continues qui n'ont point de dérivées" (Correspondance de Hermite à Stiltjes, 1893)

Contredit l'intuition: Fonction continue $\not\approx$ on peut la dessiner sans lever le crayon! Et pourtant...

- · Vitesse d'un fluide turbulent
- · Signaux financiers
- · Codage de séguences d'ADN
- · Traffic internet
- Température de l'air
- · Signaux biomédicaux
- · Etc.

Fonction de Weierstrass

Soit $a\in]0,1[$ et soit b un nombre impair plus grand que 1 tel que $ab>1+\frac{3}{2}\pi.$ La fonction de Weierstrass $W_{a,b}$ est définie sur $\mathbb R$ par

$$W_{a,b}(x) = \sum_{k=0}^{+\infty} a^k \cos(b^k \pi x).$$

Fonction de Weierstrass

Soit $a\in]0,1[$ et soit b un nombre impair plus grand que 1 tel que $ab>1+\frac{3}{2}\pi.$ La fonction de Weierstrass $W_{a,b}$ est définie sur $\mathbb R$ par

$$W_{a,b}(x) = \sum_{k=0}^{+\infty} a^k \cos(b^k \pi x).$$

Bien défini? Ok par le critère de convergence de Weierstrass puisque

$$\forall x \in \mathbb{R}, \ |a^k \cos(b^k \pi x)| \le a^k \quad \text{et} \quad \sum_{k=0}^{+\infty} a^k < +\infty.$$

Fonction de Weierstrass

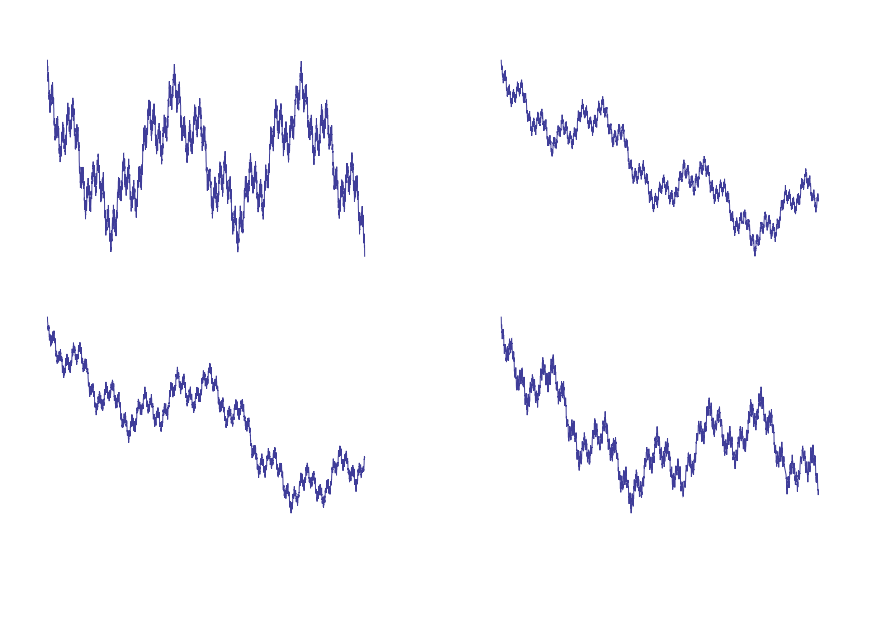
Soit $a\in]0,1[$ et soit b un nombre impair plus grand que 1 tel que $ab>1+\frac{3}{2}\pi.$ La fonction de Weierstrass $W_{a,b}$ est définie sur $\mathbb R$ par

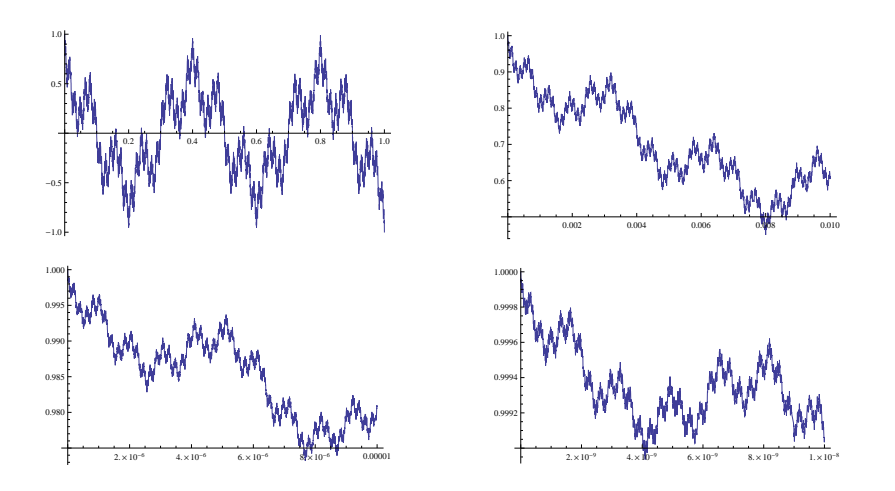
$$W_{a,b}(x) = \sum_{k=0}^{+\infty} a^k \cos(b^k \pi x).$$

Bien défini? Ok par le critère de convergence de Weierstrass puisque

$$\forall x \in \mathbb{R}, \ |a^k \cos(b^k \pi x)| \le a^k \quad \text{et} \quad \sum_{k=0}^{+\infty} a^k < +\infty.$$

En particulier, $W_{a,b}$ est **continu** car limite uniforme de fonctions continues.





Proposition

La fonction de Weierstrass $W_{a,b}:\mathbb{R} \to \mathbb{R}$ n'est dérivable en aucun point de $\mathbb{R}.$

Proposition

La fonction de Weierstrass $W_{a,b}:\mathbb{R}\to\mathbb{R}$ n'est dérivable en aucun point de \mathbb{R} .

Preuve. Soit $x_0 \in \mathbb{R}$.

1. Construction d'une suite $(y_m)_m$ qui converge vers x_0^-

Pour tout $m \geq 1$, on choisit $c_m \in \mathbb{Z}$ tel que

$$x_m := b^m x_0 - c_m \in \left] -\frac{1}{2}, \frac{1}{2} \right],$$

et on pose

$$y_m := \frac{c_m - 1}{b^m}.$$

Proposition

La fonction de Weierstrass $W_{a,b}:\mathbb{R}\to\mathbb{R}$ n'est dérivable en aucun point de \mathbb{R} .

Preuve. Soit $x_0 \in \mathbb{R}$.

1. Construction d'une suite $(y_m)_m$ qui converge vers x_0^-

Pour tout $m \geq 1$, on choisit $c_m \in \mathbb{Z}$ tel que

$$x_m := b^m x_0 - c_m \in \left] -\frac{1}{2}, \frac{1}{2} \right],$$

et on pose

$$y_m := \frac{c_m - 1}{b^m}.$$

On a

$$y_m - x_0 = \frac{c_m - 1}{b^m} - \frac{x_m + c_m}{b^m} = -\frac{1 + x_m}{b^m} \in \left[-\frac{3}{2b^m}, 0 \right].$$

2. Etude du quotient différentiel

On a

$$W_{a,b}(x_0) = \sum_{k=0}^{+\infty} a^k \cos \left(b^k \pi x_0\right) \quad \text{et} \quad W_{a,b}(y_m) = \sum_{k=0}^{+\infty} a^k \cos \left(b^k \pi y_m\right)$$

donc

$$\frac{W_{a,b}(y_m) - W_{a,b}(x_0)}{y_m - x_0} = \sum_{k=0}^{+\infty} a^k \frac{\cos(b^k \pi y_m) - \cos(b^k \pi x_0)}{y_m - x_0}$$

2. Etude du quotient différentiel

On a

$$W_{a,b}(x_0) = \sum_{k=0}^{+\infty} a^k \cos(b^k \pi x_0)$$
 et $W_{a,b}(y_m) = \sum_{k=0}^{+\infty} a^k \cos(b^k \pi y_m)$

donc

$$\frac{W_{a,b}(y_m) - W_{a,b}(x_0)}{y_m - x_0} = \sum_{k=0}^{+\infty} a^k \frac{\cos(b^k \pi y_m) - \cos(b^k \pi x_0)}{y_m - x_0} = S_1^m + S_2^m$$

οù

$$\begin{cases} S_1^m &:= \sum_{k=0}^{m-1} a^k \frac{\cos(b^k \pi y_m) - \cos(b^k \pi x_0)}{y_m - x_0} \\ S_2^m &:= \sum_{k=m}^{+\infty} a^k \frac{\cos(b^k \pi y_m) - \cos(b^k \pi x_0)}{y_m - x_0} \end{cases}$$

$$S_1^m = \sum_{k=0}^{m-1} a^k \frac{\cos(b^k \pi y_m) - \cos(b^k \pi x_0)}{y_m - x_0}$$

$$S_1^m = \sum_{k=0}^{m-1} a^k \frac{\cos(b^k \pi y_m) - \cos(b^k \pi x_0)}{y_m - x_0}$$

$$|\cos(b^{k}\pi y_{m}) - \cos(b^{k}\pi x_{0})| = \left|b^{k}\pi \int_{y_{m}}^{x_{0}} \sin(b^{k}\pi t)dt\right| \leq b^{k}\pi \int_{y_{m}}^{x_{0}} \left|\sin(b^{k}\pi t)\right|dt$$

$$< b^{k}\pi |y_{m} - x_{0}|$$

$$S_1^m = \sum_{k=0}^{m-1} a^k \frac{\cos(b^k \pi y_m) - \cos(b^k \pi x_0)}{y_m - x_0}$$

$$|\cos(b^{k}\pi y_{m}) - \cos(b^{k}\pi x_{0})| = \left|b^{k}\pi \int_{y_{m}}^{x_{0}} \sin(b^{k}\pi t)dt\right| \leq b^{k}\pi \int_{y_{m}}^{x_{0}} \left|\sin(b^{k}\pi t)\right|dt$$

$$\leq b^{k}\pi |y_{m} - x_{0}|$$

$$\implies |S_1^m| \le \sum_{k=0}^{m-1} a^k \frac{|\cos(b^k \pi y_m) - \cos(b^k \pi x_0)|}{|y_m - x_0|}$$

$$\le \sum_{k=0}^{m-1} (ab)^k \pi$$

$$= \pi \frac{(ab)^m - 1}{ab - 1} \le \frac{(ab)^m \pi}{ab - 1} \quad \text{car} \quad ab > 1.$$

$$S_1^m = \sum_{k=0}^{m-1} a^k \frac{\cos(b^k \pi y_m) - \cos(b^k \pi x_0)}{y_m - x_0}$$

$$|\cos(b^{k}\pi y_{m}) - \cos(b^{k}\pi x_{0})| = \left| b^{k}\pi \int_{y_{m}}^{x_{0}} \sin(b^{k}\pi t) dt \right| \leq b^{k}\pi \int_{y_{m}}^{x_{0}} \left| \sin(b^{k}\pi t) \right| dt$$

$$< b^{k}\pi |y_{m} - x_{0}|$$

$$\implies |S_1^m| \le \sum_{k=0}^{m-1} a^k \frac{|\cos(b^k \pi y_m) - \cos(b^k \pi x_0)|}{|y_m - x_0|}$$

$$\le \sum_{k=0}^{m-1} (ab)^k \pi$$

$$= \pi \frac{(ab)^m - 1}{ab - 1} \le \frac{(ab)^m \pi}{ab - 1} \quad \text{car} \quad ab > 1.$$

On en tire que

 $\varepsilon_m := (-1)^{c_m} \frac{S_1^m(ab-1)}{(ab)^m \pi} \in [-1, 1]$ (*)

$$S_2^m = \sum_{k=m}^{+\infty} a^k \frac{\cos(b^k \pi y_m) - \cos(b^k \pi x_0)}{y_m - x_0}$$

$$S_2^m = \sum_{k=m}^{+\infty} a^k \frac{\cos(b^k \pi y_m) - \cos(b^k \pi x_0)}{y_m - x_0}$$

Comme b est impair, $c_m \in \mathbb{Z}$, et $y_m = \frac{c_m - 1}{b^m}$

$$\cos(b^k \pi y_m) = \cos(b^{k-m} \pi (c_m - 1)) = (-1)^{c_m - 1} = -(-1)^{c_m}$$

$$S_2^m = \sum_{k=m}^{+\infty} a^k \frac{\cos(b^k \pi y_m) - \cos(b^k \pi x_0)}{y_m - x_0}$$

Comme b est impair, $c_m \in \mathbb{Z}$, et $y_m = \frac{c_m - 1}{b^m}$

$$\cos(b^k \pi y_m) = \cos(b^{k-m} \pi (c_m - 1)) = (-1)^{c_m - 1} = -(-1)^{c_m}$$

et

$$\cos(b^k \pi x_0) = \cos(b^{k-m} \pi (x_m + c_m))$$

$$= \cos(b^{k-m} \pi x_m) \cos(b^{k-m} \pi c_m) - \sin(b^{k-m} \pi x_m) \sin(b^{k-m} \pi c_m)$$

$$= (-1)^{c_m} \cos(b^{k-m} \pi x_m).$$

$$S_2^m = \sum_{k=m}^{+\infty} a^k \frac{\cos(b^k \pi y_m) - \cos(b^k \pi x_0)}{y_m - x_0}$$

Comme b est impair, $c_m \in \mathbb{Z}$, et $y_m = \frac{c_m - 1}{b^m}$

$$\cos(b^k \pi y_m) = \cos(b^{k-m} \pi (c_m - 1)) = (-1)^{c_m - 1} = -(-1)^{c_m}$$

et

$$\cos(b^k \pi x_0) = \cos(b^{k-m} \pi (x_m + c_m))$$

$$= \cos(b^{k-m} \pi x_m) \cos(b^{k-m} \pi c_m) - \sin(b^{k-m} \pi x_m) \sin(b^{k-m} \pi c_m)$$

$$= (-1)^{c_m} \cos(b^{k-m} \pi x_m).$$

Ainsi

$$\cos(b^k \pi y_m) - \cos(b^k \pi x_0) = -(-1)^{c_m} - (-1)^{c_m} \cos(b^{k-m} \pi x_m)
= -(-1)^{c_m} \left(1 + \cos(b^{k-m} \pi x_m)\right)$$

$$\implies S_2^m = -(-1)^{c_m} \sum_{k=m}^{+\infty} a^k \frac{1 + \cos\left(b^{k-m}\pi x_m\right)}{y_m - x_0}$$

$$= b^m (-1)^{c_m} \sum_{k=m}^{+\infty} a^k \frac{1 + \cos\left(b^{k-m}\pi x_m\right)}{1 + x_m}$$

$$= (ab)^m (-1)^{c_m} \sum_{k=0}^{+\infty} a^k \frac{1 + \cos\left(b^k \pi x_m\right)}{1 + x_m}$$

car
$$y_m - x_0 = -\frac{1+x_m}{b^m}$$
.

$$\implies S_2^m = -(-1)^{c_m} \sum_{k=m}^{+\infty} a^k \frac{1 + \cos\left(b^{k-m}\pi x_m\right)}{y_m - x_0}$$

$$= b^m (-1)^{c_m} \sum_{k=m}^{+\infty} a^k \frac{1 + \cos\left(b^{k-m}\pi x_m\right)}{1 + x_m}$$

$$= (ab)^m (-1)^{c_m} \sum_{k=0}^{+\infty} a^k \frac{1 + \cos\left(b^k \pi x_m\right)}{1 + x_m}$$

car $y_m - x_0 = -\frac{1+x_m}{b^m}$. De plus, on a

$$\sum_{k=0}^{+\infty} a^k \frac{1 + \cos\left(b^k \pi x_m\right)}{1 + x_m} \ge \frac{1 + \cos\left(\pi x_m\right)}{1 + x_m} \ge \frac{1}{1 + \frac{1}{2}} = \frac{2}{3}$$

puisqu'il s'agit d'une série à termes positifs et puisque $x_m \in \left] - \frac{1}{2}, \frac{1}{2} \right]$.

$$\implies S_2^m = -(-1)^{c_m} \sum_{k=m}^{+\infty} a^k \frac{1 + \cos\left(b^{k-m}\pi x_m\right)}{y_m - x_0}$$

$$= b^m (-1)^{c_m} \sum_{k=m}^{+\infty} a^k \frac{1 + \cos\left(b^{k-m}\pi x_m\right)}{1 + x_m}$$

$$= (ab)^m (-1)^{c_m} \sum_{k=0}^{+\infty} a^k \frac{1 + \cos\left(b^k \pi x_m\right)}{1 + x_m}$$

car $y_m - x_0 = -\frac{1+x_m}{hm}$. De plus, on a

$$\sum_{k=0}^{+\infty} a^k \frac{1 + \cos\left(b^k \pi x_m\right)}{1 + x_m} \ge \frac{1 + \cos\left(\pi x_m\right)}{1 + x_m} \ge \frac{1}{1 + \frac{1}{2}} = \frac{2}{3}$$

puisqu'il s'agit d'une série à termes positifs et puisque $x_m \in \left[-\frac{1}{2}, \frac{1}{2}\right]$. Ainsi,

$$\eta_m := \frac{3}{2} \sum_{k=0}^{+\infty} a^k \frac{1 + \cos\left(b^k \pi x_m\right)}{1 + x_m} \ge 1 \quad \text{ et } \quad S_2^m = (ab)^m (-1)^{c_m} \frac{2}{3} \eta_m$$

◆□▶◆□▶◆臣▶◆臣▶ 臣 めの○

c) Total.

$$\varepsilon_m = (-1)^{c_m} \frac{S_1^m(ab-1)}{(ab)^m \pi} \in [-1, 1]$$
 (*)

$$\eta_m = \frac{3}{2} \sum_{k=0}^{+\infty} a^k \frac{1 + \cos\left(b^k \pi x_m\right)}{1 + x_m} \ge 1 \quad \text{ et } \quad S_2^m = (ab)^m (-1)^{c_m} \frac{2}{3} \eta_m \qquad (**)$$

c) Total.

$$\varepsilon_m = (-1)^{c_m} \frac{S_1^m(ab-1)}{(ab)^m \pi} \in [-1, 1]$$
 (*)

$$\eta_m = \frac{3}{2} \sum_{k=0}^{+\infty} a^k \frac{1 + \cos\left(b^k \pi x_m\right)}{1 + x_m} \ge 1 \quad \text{ et } \quad S_2^m = (ab)^m (-1)^{c_m} \frac{2}{3} \eta_m \qquad (**)$$

On peut réécrire

$$\frac{W_{a,b}(y_m) - W_{a,b}(x_0)}{y_m - x_0} = S_1^m + S_2^m = (-1)^{c_m} (ab)^m \left(\varepsilon_m \frac{\pi}{ab - 1} + \eta_m \frac{2}{3} \right).$$

c) Total.

$$\varepsilon_m = (-1)^{c_m} \frac{S_1^m(ab-1)}{(ab)^m \pi} \in [-1, 1]$$
 (*)

$$\eta_m = \frac{3}{2} \sum_{k=0}^{+\infty} a^k \frac{1 + \cos\left(b^k \pi x_m\right)}{1 + x_m} \ge 1 \quad \text{ et } \quad S_2^m = (ab)^m (-1)^{c_m} \frac{2}{3} \eta_m \qquad (**)$$

On peut réécrire

$$\frac{W_{a,b}(y_m) - W_{a,b}(x_0)}{y_m - x_0} = S_1^m + S_2^m = (-1)^{c_m} (ab)^m \left(\varepsilon_m \frac{\pi}{ab - 1} + \eta_m \frac{2}{3} \right).$$

En utilisant (*),(**) et l'hypothèse $ab>1+\frac{3}{2}\pi$, il vient

$$\varepsilon_m \frac{\pi}{ab-1} + \eta_m \frac{2}{3} \geq \underbrace{\frac{-\pi}{ab-1} + \frac{2}{3}}_{\text{indépendant de } m} > 0.$$

Comme $(ab)^m \to +\infty$, la fonction $W_{a,b}$ n'est pas dérivable en x_0 .

4 D > 4 B > 4 E > 4 E > 9 Q

Généralisations

• Hardy 1916. Si $a \in \]0,1[$, b>1 et $ab\geq 1$, alors les fonctions

$$W_1(x) = \sum_{k=0}^{+\infty} a^k \sin(b^k \pi x)$$
 et $W_2(x) = \sum_{k=0}^{+\infty} a^k \cos(b^k \pi x)$

sont continues et nulle part dérivables sur \mathbb{R} .

Généralisations

• Hardy 1916. Si $a \in]0,1[$, b>1 et $ab\geq 1$, alors les fonctions

$$W_1(x) = \sum_{k=0}^{+\infty} a^k \sin(b^k \pi x) \text{ et } W_2(x) = \sum_{k=0}^{+\infty} a^k \cos(b^k \pi x)$$

sont continues et nulle part dérivables sur \mathbb{R} .

Porter 1919.

$$W_1(x) = \sum_{k=0}^{+\infty} u_k(x) \sin\left(b_k \pi x\right) \text{ et } W_2(x) = \sum_{k=0}^{+\infty} u_k(x) \cos\left(b_k \pi x\right)$$

Conditions sur les suites $(u_k)_k$ (fonctions dérivables) et $(b_k)_k$ (entiers) pour avoir des fonctions continues nulle part dérivables.

Donne l'existence de fonctions qui sont difficiles à construire et à visualiser.
 Exemple: fonctions dérivables nulle part monotones (C. Weil 1976).

- Donne l'existence de fonctions qui sont difficiles à construire et à visualiser.
 Exemple: fonctions dérivables nulle part monotones (C. Weil 1976).
- Donne une notion d'ensemble générique (i.e. large) d'un point de vue topologique.

- Donne l'existence de fonctions qui sont difficiles à construire et à visualiser.
 Exemple: fonctions dérivables nulle part monotones (C. Weil 1976).
- Donne une notion d'ensemble générique (i.e. large) d'un point de vue topologique.

Théorème

Tout espace métrisable complet est de Baire, c'est-à-dire toute intersection dénombrable d'ouverts denses est dense.

- Donne l'existence de fonctions qui sont difficiles à construire et à visualiser.
 Exemple: fonctions dérivables nulle part monotones (C. Weil 1976).
- Donne une notion d'ensemble générique (i.e. large) d'un point de vue topologique.

Théorème

Tout espace métrisable complet est de Baire, c'est-à-dire toute intersection dénombrable d'ouverts denses est dense.

Définition

Une partie d'un espace de Baire est **résiduel** s'il contient une intersection dénombrable d'ouverts denses.

- Donne l'existence de fonctions qui sont difficiles à construire et à visualiser.
 Exemple: fonctions dérivables nulle part monotones (C. Weil 1976).
- Donne une notion d'ensemble générique (i.e. large) d'un point de vue topologique.

Théorème

Tout espace métrisable complet est de Baire, c'est-à-dire toute intersection dénombrable d'ouverts denses est dense.

Définition

Une partie d'un espace de Baire est **résiduel** s'il contient une intersection dénombrable d'ouverts denses.

- · Tout ensemble résiduel est dense.
- Le complémentaire d'un ensemble résiduel est contenu dans une union dénombrable de fermés d'intérieur vide. On dit qu'il est maigre ou de première catégorie.

Soit $\mathcal{C}([0,1])$ l'ensemble des fonctions continues sur [0,1]. Sur cet espace, on définit la norme $\|\cdot\|$ par

$$||f|| := \sup_{x \in [0,1]} |f(x)|, \quad \forall f \in \mathcal{C}([0,1]).$$

Muni de cette norme, $\mathcal{C}([0,1])$ est un espace complet.

Soit $\mathcal{C}([0,1])$ l'ensemble des fonctions continues sur [0,1]. Sur cet espace, on définit la norme $\|\cdot\|$ par

$$\|f\|:=\sup_{x\in[0,1]}|f(x)|,\quad \forall f\in\mathcal{C}([0,1]).$$

Muni de cette norme, C([0,1]) est un espace complet.

Lemme

Les polynômes forment une partie dense de $\mathcal{C}([0,1])$, i.e. pour tout $f\in\mathcal{C}([0,1])$, il existe une suite $(P_n)_{n\in\mathbb{N}}$ de polynômes qui converge uniformément vers f sur [0,1].

Les polynômes de Bernstein

$$P_n(x) = \sum_{k=0}^{n} f\left(\frac{k}{n}\right) C_n^k x^k (1-x)^{n-k}$$

conviennent.

Théorème (Banach - Mazurkiewicz, 1931)

L'ensemble \mathcal{ND} des fonctions continues et nulle part dérivables sur [0,1] est résiduel dans $\mathcal{C}([0,1])$.

Théorème (Banach - Mazurkiewicz, 1931)

L'ensemble \mathcal{ND} des fonctions continues et nulle part dérivables sur [0,1] est résiduel dans $\mathcal{C}([0,1])$.

Preuve. Si f est dérivable en x, on a

$$\sup_{y \in [0,1]} \frac{|f(y) - f(x)|}{|y - x|} < +\infty.$$

Il s'ensuit que

$$\mathbb{C}\mathcal{N}\mathcal{D}\subseteq\bigcup_{n\in\mathbb{N}_0}F_n,$$

οù

$$F_n = \big\{ f \in \mathcal{C}([0,1]): \ \exists x \in [0,1] \ \text{tel que} \ |f(y) - f(x)| \le n|y - x| \ \forall y \in [0,1] \big\}.$$

Il reste à montrer que F_n est un fermé d'intérieur vide de $\mathcal{C}([0,1])$.



Soit $(f_k)_{k\in\mathbb{N}}$ une suite de F_n qui converge vers f dans $\mathcal{C}([0,1])$. Est-ce que $f\in F_n$?

Soit $(f_k)_{k\in\mathbb{N}}$ une suite de F_n qui converge vers f dans $\mathcal{C}([0,1])$. Est-ce que $f\in F_n$? Puisque $f_k\in F_n$,

$$\exists x_k \in [0,1] \ \ \text{tel que} \ \ |f_k(y) - f_k(x_k)| \leq n|y - x_k| \quad \forall y \in [0,1].$$

Comme la suite $(x_k)_{k\in\mathbb{N}}$ est bornée, on peut en extraire une sous-suite $(x_{m(k)})_{k\in\mathbb{N}}$ convergente. Notons $x\in[0,1]$ sa limite.

Soit $(f_k)_{k\in\mathbb{N}}$ une suite de F_n qui converge vers f dans $\mathcal{C}([0,1])$. Est-ce que $f\in F_n$? Puisque $f_k\in F_n$,

$$\exists x_k \in [0,1] \ \ \text{tel que} \ \ |f_k(y) - f_k(x_k)| \leq n|y - x_k| \quad \forall y \in [0,1].$$

Comme la suite $(x_k)_{k\in\mathbb{N}}$ est bornée, on peut en extraire une sous-suite $(x_{m(k)})_{k\in\mathbb{N}}$ convergente. Notons $x\in[0,1]$ sa limite. Alors

$$|f(y) - f(x)| \le |f(y) - f_K(y)| + |f_K(y) - f_K(x_K)| + |f_K(x_K) - f(x_K)| + |f(x_K) - f(x)| \le 2||f - f_K|| + n|y - x_K| + |f(x_K) - f(x)|.$$

Soit $(f_k)_{k\in\mathbb{N}}$ une suite de F_n qui converge vers f dans $\mathcal{C}([0,1])$. Est-ce que $f\in F_n$? Puisque $f_k\in F_n$,

$$\exists x_k \in [0,1] \ \ \text{tel que} \ \ |f_k(y) - f_k(x_k)| \leq n|y - x_k| \quad \forall y \in [0,1].$$

Comme la suite $(x_k)_{k\in\mathbb{N}}$ est bornée, on peut en extraire une sous-suite $(x_{m(k)})_{k\in\mathbb{N}}$ convergente. Notons $x\in[0,1]$ sa limite. Alors

$$|f(y) - f(x)| \le |f(y) - f_K(y)| + |f_K(y) - f_K(x_K)| + |f_K(x_K) - f(x_K)| + |f(x_K) - f(x)| \le 2||f - f_K|| + n|y - x_K| + |f(x_K) - f(x)|.$$

Si $K = m(k) \to +\infty$, on obtient

$$|f(y) - f(x)| \le n|y - x|,$$

d'où $f \in F_n$.



Soit $f \in F_n$. Montrons que pour tout $\varepsilon > 0$, $B(f, \varepsilon) \nsubseteq F_n$.

Soit $f\in F_n$. Montrons que pour tout $\varepsilon>0$, $B(f,\varepsilon)\nsubseteq F_n$. On cherche donc $g\in\mathcal{C}([0,1])$ tel que $\|f-g\|<\varepsilon$ et $g\notin F_n$. Soit P un polynôme tel que

$$||f - P|| < \frac{\varepsilon}{2}.$$

Soit $f\in F_n$. Montrons que pour tout $\varepsilon>0$, $B(f,\varepsilon)\nsubseteq F_n$. On cherche donc $g\in\mathcal{C}([0,1])$ tel que $\|f-g\|<\varepsilon$ et $g\notin F_n$. Soit P un polynôme tel que

$$||f - P|| < \frac{\varepsilon}{2}.$$

Idée. Prendre g=P+h où $\|h\|<\frac{\varepsilon}{2}$ et |Dh(x)| "suffisamment grand".

Soit $f\in F_n$. Montrons que pour tout $\varepsilon>0$, $B(f,\varepsilon)\nsubseteq F_n$. On cherche donc $g\in\mathcal{C}([0,1])$ tel que $\|f-g\|<\varepsilon$ et $g\notin F_n$. Soit P un polynôme tel que

$$||f - P|| < \frac{\varepsilon}{2}.$$

Idée. Prendre g = P + h où $||h|| < \frac{\varepsilon}{2}$ et |Dh(x)| "suffisamment grand". Alors

$$\|f-g\| \leq \|f-P\| + \|h\| < \varepsilon$$

et

$$|g(y) - g(x)| \ge |h(y) - h(x)| - |P(y) - P(x)|$$

$$\ge C|y - x| - C'|y - x|$$

$$\ge (n+1)|y - x|$$

Soit $M=\sup_{x\in[0,1]}|DP(x)|$, $N\in\mathbb{N}$ tel que $\varepsilon N>2(M+n+1)$ et la fonction $\Phi(x)=\operatorname{dist}(x,\mathbb{Z}).$

Soit $M=\sup_{x\in[0,1]}|DP(x)|$, $N\in\mathbb{N}$ tel que $\varepsilon N>2(M+n+1)$ et la fonction $\Phi(x)=\operatorname{dist}(x,\mathbb{Z}).$ Posons

$$h(x) = \frac{\varepsilon}{2}\Phi(Nx).$$

Remarquons que h est $\frac{1}{N}$ - périodique, continue et sur $\left[0,\frac{1}{N}\right[$, on a

$$h(x) = \begin{cases} \frac{\varepsilon N}{2} x & \text{si } x \le \frac{1}{2N}, \\ \frac{\varepsilon}{2} (1 - Nx) & \text{si } x \ge \frac{1}{2N}. \end{cases}$$

Soit $M=\sup_{x\in[0,1]}|DP(x)|,\,N\in\mathbb{N}$ tel que $\varepsilon N>2(M+n+1)$ et la fonction $\Phi(x)=\operatorname{dist}(x,\mathbb{Z}).$ Posons

$$h(x) = \frac{\varepsilon}{2}\Phi(Nx).$$

Remarquons que h est $\frac{1}{N}$ - périodique, continue et sur $\left[0,\frac{1}{N}\right[$, on a

$$h(x) = \begin{cases} \frac{\varepsilon N}{2} x & \text{si } x \le \frac{1}{2N}, \\ \frac{\varepsilon}{2} (1 - Nx) & \text{si } x \ge \frac{1}{2N}. \end{cases}$$

Ainsi,

$$||h|| = \sup_{x \in [0,1]} |h(x)| = \frac{\varepsilon}{4}$$

et de plus, en tout point x,

$$|D^+h(x)| = \frac{\varepsilon N}{2} > M + n + 1,$$

$$\begin{cases} \sup_{x \in [0,1]} |DP(x)| = M \\ |D^+h(x)| > M + n + 1 \end{cases}$$

$$\begin{cases} \sup_{x \in [0,1]} |DP(x)| = M \\ |D^+h(x)| > M + n + 1 \end{cases}$$

Par le TAF,

$$|P(y)-P(x)| \leq M|x-y| \quad \forall y \in [0,1].$$

$$\begin{cases} \sup_{x \in [0,1]} |DP(x)| = M \\ |D^+h(x)| > M + n + 1 \end{cases}$$

Par le TAF,

$$|P(y) - P(x)| \le M|x - y| \quad \forall y \in [0, 1].$$

D'autre part, pour tout y > x suffisament proche de x, on a

$$|h(y) - h(x)| > (M + n + 1)|x - y|.$$

$$\begin{cases} \sup_{x \in [0,1]} |DP(x)| = M \\ |D^+h(x)| > M + n + 1 \end{cases}$$

Par le TAF,

$$|P(y) - P(x)| \le M|x - y| \quad \forall y \in [0, 1].$$

D'autre part, pour tout y > x suffisament proche de x, on a

$$|h(y) - h(x)| > (M + n + 1)|x - y|.$$

On en tire qu'il existe $y \in [0, 1]$ tel que

$$|g(y) - g(x)| \ge (M + n + 1)|x - y| - M|x - y| > n|x - y|.$$



Autre preuve. Soit $f \in \mathcal{C}([0,1])$. Fixons $W \in \mathcal{ND}$.

Autre preuve. Soit $f \in \mathcal{C}([0,1])$. Fixons $W \in \mathcal{ND}$. Comme $f - W \in \mathcal{C}([0,1])$, il existe une suite $(P_n)_n$ de polynômes tels que

$$||f - W - P_n|| \to 0$$
 lorsque $n \to +\infty$.

La suite $(W+P_n)_n$ converge donc vers f dans $\mathcal{C}([0,1])$.

Autre preuve. Soit $f \in \mathcal{C}([0,1])$. Fixons $W \in \mathcal{ND}$. Comme $f - W \in \mathcal{C}([0,1])$, il existe une suite $(P_n)_n$ de polynômes tels que

$$||f - W - P_n|| \to 0$$
 lorsque $n \to +\infty$.

La suite $(W+P_n)_n$ converge donc vers f dans $\mathcal{C}([0,1])$. De plus, s'il existe $x\in[0,1]$ tel que $W+P_n$ est dérivable en x, alors il en est de même pour $W=(W+P_n)-P_n$, ce qui est impossible.

Autre preuve. Soit $f \in \mathcal{C}([0,1])$. Fixons $W \in \mathcal{ND}$. Comme $f - W \in \mathcal{C}([0,1])$, il existe une suite $(P_n)_n$ de polynômes tels que

$$||f - W - P_n|| \to 0$$
 lorsque $n \to +\infty$.

La suite $(W+P_n)_n$ converge donc vers f dans $\mathcal{C}([0,1])$. De plus, s'il existe $x\in[0,1]$ tel que $W+P_n$ est dérivable en x, alors il en est de même pour $W=(W+P_n)-P_n$, ce qui est impossible.

→ Utilise l'existence d'une fonction nulle part dérivable!

Autres notions.

• **Prévalence** (Christensen 1972, Hunt, Sauer et Yorke 1992). Généralise la notion de presque partout à des espaces de dimension infinie. Hunt 1994: $\mathcal{N}\mathcal{D}$ est prévalent.

Autres notions.

- **Prévalence** (Christensen 1972, Hunt, Sauer et Yorke 1992). Généralise la notion de presque partout à des espaces de dimension infinie. Hunt 1994: \mathcal{ND} est prévalent.
- Linéabilité (Aron, Gurariy, Seoane-Sepúlveda 2005). Existence de larges structures algébriques formées d'objets particuliers.

Autres notions.

- Prévalence (Christensen 1972, Hunt, Sauer et Yorke 1992). Généralise la notion de presque partout à des espaces de dimension infinie.
 Hunt 1994: ND est prévalent.
- Linéabilité (Aron, Gurariy, Seoane-Sepúlveda 2005). Existence de larges structures algébriques formées d'objets particuliers.
 Jiménez-Rodríguez, Muñoz-Fernández et Seoane-Sepúlveda 2013: ND est linéable. Plus précisément, toute combinaison linéaire non-nulle des fonctions

$$W_a(x) = \sum_{k=0}^{+\infty} a^k \cos(9^k \pi x), \quad a \in \left[\frac{7}{9}, 1 \right]$$

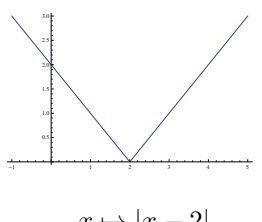
est nulle part dérivable.

Exposant de Hölder

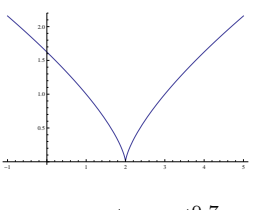
Question. Etant donné une fonction continue qui n'est pas dérivable en un point, comment peut-on caractériser l'irrégularité en ce point?

Exposant de Hölder

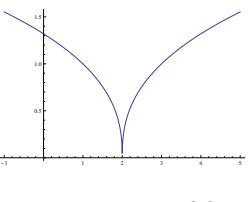
Question. Etant donné une fonction continue qui n'est pas dérivable en un point, comment peut-on caractériser l'irrégularité en ce point?



$$x\mapsto |x-2|$$







$$x \mapsto |x - 2|^{0.3}$$

Soit $f:\mathbb{R}\to\mathbb{R}$ une fonction localement bornée, $\alpha\in[0,1]$ et $x_0\in\mathbb{R}$. On dit que $f\in C^\alpha(x_0)$ s'il existe une constante C>0 et un voisinage V de x_0 tel que

$$|f(x) - f(x_0)| \le C|x - x_0|^{\alpha}, \quad \forall x \in V.$$

Soit $f:\mathbb{R}\to\mathbb{R}$ une fonction localement bornée, $\alpha\in[0,1]$ et $x_0\in\mathbb{R}$. On dit que $f\in C^{\alpha}(x_0)$ s'il existe une constante C>0 et un voisinage V de x_0 tel que

$$|f(x) - f(x_0)| \le C|x - x_0|^{\alpha}, \quad \forall x \in V.$$

De manière équivalente, on peut demander l'existence d'un $\delta>0$ tel que

$$|f(x_0+l)-f(x_0)| \le C|l|^{\alpha}, \quad \forall |l| < \delta.$$

Soit $f:\mathbb{R}\to\mathbb{R}$ une fonction localement bornée, $\alpha\in[0,1]$ et $x_0\in\mathbb{R}$. On dit que $f\in C^{\alpha}(x_0)$ s'il existe une constante C>0 et un voisinage V de x_0 tel que

$$|f(x) - f(x_0)| \le C|x - x_0|^{\alpha}, \quad \forall x \in V.$$

De manière équivalente, on peut demander l'existence d'un $\delta>0$ tel que

$$|f(x_0+l)-f(x_0)| \le C|l|^{\alpha}, \quad \forall |l| < \delta.$$

Définition

Soit $f:\mathbb{R}\to\mathbb{R}$ une fonction localement bornée, $\alpha\geq 0$ et $x_0\in\mathbb{R}$. On dit que $f\in C^{\alpha}(x_0)$ s'il existe une constante C>0, un polynôme P de degré strictement inférieur à α et $\delta>0$ tel que

$$|f(x_0+l) - P(l)| \le C|l|^{\alpha}, \quad \forall |l| < \delta.$$

Si $f \in C^{\alpha}(x_0)$, le polynôme P apparaissant dans la définition est unique.

Preuve. Supposons que

$$|f(x_0 + l) - P_1(l)| \le C_1 |l|^{\alpha} \quad \forall |l| < \delta_1$$

 $|f(x_0 + l) - P_2(l)| \le C_2 |l|^{\alpha} \quad \forall |l| < \delta_2$

Si $f \in C^{\alpha}(x_0)$, le polynôme P apparaissant dans la définition est unique.

Preuve. Supposons que

$$|f(x_0+l) - P_1(l)| \le C_1|l|^{\alpha} \quad \forall |l| < \delta_1$$

$$|f(x_0+l)-P_2(l)| \le C_2|l|^{\alpha} \quad \forall |l| < \delta_2$$

Posons $C = \max\{C_1, C_2\}$ et $\delta = \min\{\delta_1, \delta_2\}$. Pour $|l| < \delta$, on a

$$|P_1(l) - P_2(l)| \le |f(x_0 + l) - P_1(l)| + |f(x_0 + l) - P_2(l)| \le 2C|l|^{\alpha}.$$

Si $f \in C^{\alpha}(x_0)$, le polynôme P apparaissant dans la définition est unique.

Preuve. Supposons que

$$|f(x_0+l) - P_1(l)| \le C_1|l|^{\alpha} \quad \forall |l| < \delta_1$$

$$|f(x_0+l) - P_2(l)| \le C_2|l|^{\alpha} \quad \forall |l| < \delta_2$$

Posons $C = \max\{C_1, C_2\}$ et $\delta = \min\{\delta_1, \delta_2\}$. Pour $|l| < \delta$, on a

$$|P_1(l) - P_2(l)| \le |f(x_0 + l) - P_1(l)| + |f(x_0 + l) - P_2(l)| \le 2C|l|^{\alpha}.$$

Ainsi.

$$\sup_{|l|<\delta} \frac{|P_1(l) - P_2(l)|}{|l|^{\alpha}} \le 2C$$

ce qui est impossible car P_1-P_2 est un polynôme non-nul de degré strictement inférieur à α .

Si $f \in C^{\alpha}(x_0)$, le polynôme P apparaissant dans la définition est unique.

Remarque. Le terme indépendant du polynôme P est donc $f(x_0)$.

Si $f \in C^{\alpha}(x_0)$, le polynôme P apparaissant dans la définition est unique.

Remarque. Le terme indépendant du polynôme P est donc $f(x_0)$.

Corollaire

Si $f \in C^{\alpha}(x_0)$ et si f est $\lfloor \alpha \rfloor$ fois continument dérivable au voisinage de x_0 , alors le polynôme qui apparaît dans la définition est le polynôme de Taylor de f à l'ordre $\lfloor \alpha \rfloor$ au point x_0 (à l'ordre $\alpha - 1$ si $\alpha \in \mathbb{N}$).

Si $f \in C^{\alpha}(x_0)$, le polynôme P apparaissant dans la définition est unique.

Remarque. Le terme indépendant du polynôme P est donc $f(x_0)$.

Corollaire

Si $f \in C^{\alpha}(x_0)$ et si f est $\lfloor \alpha \rfloor$ fois continument dérivable au voisinage de x_0 , alors le polynôme qui apparaît dans la définition est le polynôme de Taylor de f à l'ordre $\lfloor \alpha \rfloor$ au point x_0 (à l'ordre $\alpha - 1$ si $\alpha \in \mathbb{N}$).

Preuve. La formule de Taylor limitée à l'ordre $\lfloor \alpha \rfloor$ donne

$$f(x_0+l) = \underbrace{\sum_{k=0}^{\lfloor \alpha \rfloor} \frac{f^{(k)}(x_0)}{k!} l^k}_{P(l)} + R(l) \quad \text{où} \quad \lim_{l \to 0} \frac{R(l)}{l^{\lfloor \alpha \rfloor}} = 0.$$

Si $f \in C^{\alpha}(x_0)$, le polynôme P apparaissant dans la définition est unique.

Remarque. Le terme indépendant du polynôme P est donc $f(x_0)$.

Corollaire

Si $f\in C^{lpha}(x_0)$ et si f est $\lfloor lpha
floor$ fois continument dérivable au voisinage de x_0 , alors le polynôme qui apparaît dans la définition est le polynôme de Taylor de f à l'ordre $\lfloor lpha
floor$ au point x_0 (à l'ordre lpha-1 si $lpha\in \mathbb{N}$).

Preuve. La formule de Taylor limitée à l'ordre $\lfloor \alpha \rfloor$ donne

$$f(x_0+l) = \underbrace{\sum_{k=0}^{\lfloor \alpha \rfloor} \frac{f^{(k)}(x_0)}{k!} l^k}_{P(l)} + R(l) \quad \text{où} \quad \lim_{l \to 0} \frac{R(l)}{l^{\lfloor \alpha \rfloor}} = 0.$$

Ainsi, il existe C > 0 tel que

$$|f(x_0 + l) - P(l)| = |R(l)| \le C|l|^{\alpha}$$

si l est suffisamment petit.



Si $f \in C^{\alpha}(x_0)$, le polynôme P apparaissant dans la définition est unique.

Remarque. Le terme indépendant du polynôme P est donc $f(x_0)$.

Corollaire

Si $f \in C^{\alpha}(x_0)$ et si f est $\lfloor \alpha \rfloor$ fois continument dérivable au voisinage de x_0 , alors le polynôme qui apparaît dans la définition est le polynôme de Taylor de f à l'ordre $\lfloor \alpha \rfloor$ au point x_0 (à l'ordre $\alpha-1$ si $\alpha \in \mathbb{N}$).

Remarque.

• $f \in C^1(x_0) \not\Rightarrow f$ est dérivable en x_0 . Ex. $x \mapsto |x - x_0|$.

Si $f \in C^{\alpha}(x_0)$, le polynôme P apparaissant dans la définition est unique.

Remarque. Le terme indépendant du polynôme P est donc $f(x_0)$.

Corollaire

Si $f \in C^{\alpha}(x_0)$ et si f est $\lfloor \alpha \rfloor$ fois continument dérivable au voisinage de x_0 , alors le polynôme qui apparaît dans la définition est le polynôme de Taylor de f à l'ordre $\lfloor \alpha \rfloor$ au point x_0 (à l'ordre $\alpha-1$ si $\alpha \in \mathbb{N}$).

Remarque.

- $f \in C^1(x_0) \not\Rightarrow f$ est dérivable en x_0 . Ex. $x \mapsto |x x_0|$.
- Par contre, $f \in C^{1+\varepsilon}(x_0) \Rightarrow f$ est dérivable en x_0 .

Si $\alpha' \leq \alpha$, alors $C^{\alpha}(x_0) \subseteq C^{\alpha'}(x_0)$.

Si $\alpha' \leq \alpha$, alors $C^{\alpha}(x_0) \subseteq C^{\alpha'}(x_0)$.

Définition

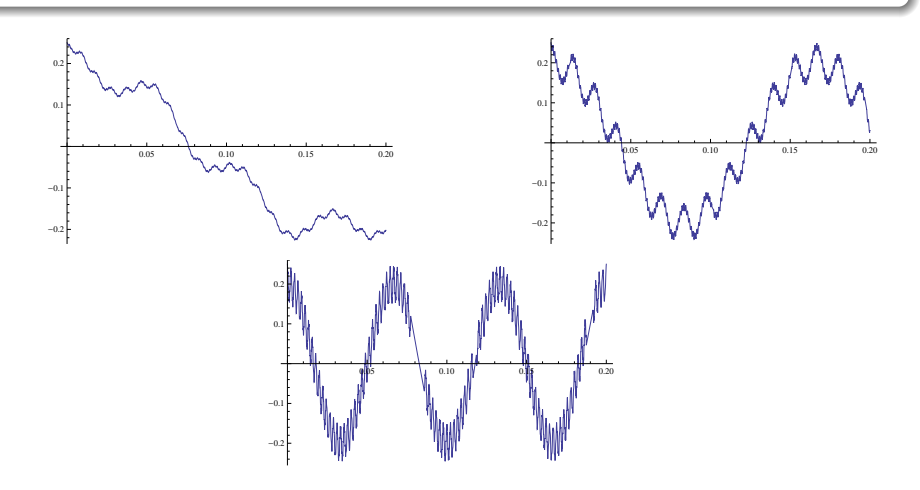
L'exposant de Hölder de f en x_0 est défini par

$$h_f(x_0) = \sup \{ \alpha \ge 0 : f \in C^{\alpha}(x_0) \}.$$

 $\longrightarrow h_f(x_0)$ informe sur la régularité de f en x_0 . Plus il est petit, plus le graphe est irrégulier au voisinage de x_0 .

Pour tout $x \in \mathbb{R}$, on a $h_{W_{a,b}}(x) = -\frac{\log a}{\log b} \in]0,1[$ (ab > 1).

Pour tout $x \in \mathbb{R}$, on a $h_{W_{a,b}}(x) = -\frac{\log a}{\log b} \in]0,1[$ (ab > 1).



Exposants de Hölder de 0.894, 0.649 et 0.473

27 / 35

Pour tout $x \in \mathbb{R}$, on a $h_{W_{a,b}}(x) = -\frac{\log a}{\log b} \in]0,1[$ (ab > 1).

Idée de la preuve. Posons $\alpha := -\frac{\log a}{\log b}$ et fixons $x \in \mathbb{R}$.

1. Pour tout $x \in \mathbb{R}$, $W_{a,b} \in C^{\alpha}(x)$

Pour $l \in]-1,1[$, on pose $m:=\left|-\frac{\log |l|}{\log b}\right|$ et on considère le découpage

$$|W_{a,b}(x+l) - W_{a,b}(x)| \le \underbrace{\sum_{k=0}^{m-1} a^k |\cos(b^k \pi(x+l)) - \cos(b^k \pi x)|}_{:=s_1^m} + \underbrace{\sum_{k=m}^{+\infty} a^k |\cos(b^k \pi(x+l)) - \cos(b^k \pi x)|}_{:=s_2^m}$$

$$+\sum_{k=m}^{+\infty} a^k |\cos(b^k \pi(x+l)) - \cos(b^k \pi x)|$$

 $:=s_0^m$

Pour tout $x \in \mathbb{R}$, on a $h_{W_{a,b}}(x) = -\frac{\log a}{\log b} \in]0,1[$ (ab > 1).

Idée de la preuve. Posons $\alpha:=-\frac{\log a}{\log b}$ et fixons $x\in\mathbb{R}.$

1. Pour tout $x \in \mathbb{R}$, $W_{a,b} \in C^{\alpha}(x)$

Pour $l \in]-1,1[$, on pose $m:=\left\lfloor -\frac{\log |l|}{\log b} \right\rfloor$ et on considère le découpage

$$|W_{a,b}(x+l) - W_{a,b}(x)| \le \underbrace{\sum_{k=0}^{m-1} a^k |\cos(b^k \pi(x+l)) - \cos(b^k \pi x)|}_{:=s_1^m} + \underbrace{\sum_{k=m}^{+\infty} a^k |\cos(b^k \pi(x+l)) - \cos(b^k \pi x)|}_{:=s_2^m}$$

Comme fait précédemment, on a

$$s_1^m \leq \frac{\pi}{ab-1}|l|^{\alpha} \quad \text{et} \quad s_2^m \leq \frac{2}{a(1-a)}|l|^{\alpha}$$



Proposition

Pour tout $x \in \mathbb{R}$, on a $h_{W_{a,b}}(x) = -\frac{\log a}{\log b} \in]0,1[$ (ab > 1).

Idée de la preuve. Posons $\alpha:=-rac{\log a}{\log b}$ et fixons $x\in\mathbb{R}.$

1. Pour tout $x \in \mathbb{R}$, $W_{a,b} \in C^{\alpha}(x)$

Pour $l \in]-1,1[$, on pose $m:=\left\lfloor -\frac{\log |l|}{\log b}\right\rfloor$ et on considère le découpage

$$|W_{a,b}(x+l) - W_{a,b}(x)|$$

$$\leq \underbrace{\sum_{k=0}^{m-1} a^k |\cos\left(b^k \pi(x+l)\right) - \cos\left(b^k \pi x\right)|}_{:=s^m} + \underbrace{\sum_{k=m}^{+\infty} a^k |\cos\left(b^k \pi(x+l)\right) - \cos\left(b^k \pi x\right)|}_{:=s^m}$$

Comme fait précédemment, on a

$$s_1^m \le \frac{\pi}{ab-1}|l|^{\alpha}$$
 et $s_2^m \le \frac{2}{a(1-a)}|l|^{\alpha}$

$$\Longrightarrow |W_{a,b}(x+l) - W_{a,b}(x)| \le C|l|^{\alpha} \quad \forall l \in]-1,1[$$

2. Pour tout $x\in\mathbb{R}$ et pour tout $\varepsilon>0$, montrons que $W_{a,b}\notin C^{\alpha+\varepsilon}(x)$

Raffinement de la preuve de la non-dérivabilité de $W_{a,b}$ en tout point. On considère

$$W_{a,b}(x+l) - W_{a,b}(x) = \sum_{k=0}^{m-1} a^k \Big(\cos \big(b^k \pi(x+l) \big) - \cos \big(b^k \pi x \big) \Big)$$

+ $a^m \Big(\cos \big(b^m \pi(x+l) \big) - \cos \big(b^m \pi x \big) \Big) + \sum_{m+1}^{+\infty} a^k \Big(\cos \big(b^k \pi(x+l) \big) - \cos \big(b^k \pi x \big) \Big).$

2. Pour tout $x \in \mathbb{R}$ et pour tout $\varepsilon > 0$, montrons que $W_{a,b} \notin C^{\alpha+\varepsilon}(x)$

Raffinement de la preuve de la non-dérivabilité de $W_{a,b}$ en tout point. On considère

$$W_{a,b}(x+l) - W_{a,b}(x) = \sum_{k=0}^{m-1} a^k \Big(\cos \big(b^k \pi(x+l) \big) - \cos \big(b^k \pi x \big) \Big)$$

+ $a^m \Big(\cos \big(b^m \pi(x+l) \big) - \cos \big(b^m \pi x \big) \Big) + \sum_{m=1}^{+\infty} a^k \Big(\cos \big(b^k \pi(x+l) \big) - \cos \big(b^k \pi x \big) \Big).$

Les deux sommes peuvent être majorées comme précédemment. En ce qui concerne le terme du milieu, pour une infinité de l (et donc de m), on a

$$a^m |\cos \left(b^m \pi(x+l)\right) - \cos \left(b^m \pi x\right)| \geq |l|^\alpha |\cos \left(b^m \pi(x+l)\right) - \cos \left(b^m \pi x\right)| > \frac{|l|^\alpha}{2}.$$



• La fonction de Weierstrass a le même exposant de Hölder en chaque point!

⇒ Fonction irrégulière très régulière!!

• La fonction de Weierstrass a le même exposant de Hölder en chaque point!

⇒ Fonction irrégulière très régulière!!

Fonctions pour lesquelles l'exposant de Hölder change radicalement d'un point à l'autre: **fonctions multifractales**. Calcul du spectre multifractal (donne une idée géométrique de la répartition des irrégularités).

• La fonction de Weierstrass a le même exposant de Hölder en chaque point!

⇒ Fonction irrégulière très régulière!!

Fonctions pour lesquelles l'exposant de Hölder change radicalement d'un point à l'autre: **fonctions multifractales**. Calcul du spectre multifractal (donne une idée géométrique de la répartition des irrégularités).

- Base d'ondelettes de $L^2(\mathbb{R})$. Base orthonormée de la forme

$$\psi_{j,k}(x) = 2^{\frac{j}{2}} \psi(2^j x - k), \quad j, k \in \mathbb{Z}.$$

Ainsi, si $f \in L^2(\mathbb{R})$,

$$f = \sum_{j \in \mathbb{Z}} \sum_{k \in \mathbb{Z}} c_{j,k} \psi_{j,k} \text{ où } c_{j,k} = 2^{\frac{j}{2}} \int_{\mathbb{R}} f(x) \psi(2^j x - k) dx.$$

• La fonction de Weierstrass a le même exposant de Hölder en chaque point!

⇒ Fonction irrégulière très régulière!!

Fonctions pour lesquelles l'exposant de Hölder change radicalement d'un point à l'autre: **fonctions multifractales**. Calcul du spectre multifractal (donne une idée géométrique de la répartition des irrégularités).

- Base d'ondelettes de $L^2(\mathbb{R})$. Base orthonormée de la forme

$$\psi_{j,k}(x) = 2^{\frac{j}{2}} \psi(2^j x - k), \quad j, k \in \mathbb{Z}.$$

Ainsi, si $f \in L^2(\mathbb{R})$,

$$f=\sum_{j\in\mathbb{Z}}\sum_{k\in\mathbb{Z}}c_{j,k}\psi_{j,k}$$
 où $c_{j,k}=2^{rac{j}{2}}\int_{\mathbb{R}}f(x)\psi(2^{j}x-k)dx.$

$$\longrightarrow h_f(x) = \liminf_{j \to +\infty} \inf_k \frac{\log(|c_{j,k}|)}{\log(2^{-j} + |k2^{-j} - x|)} \quad \text{(Jaffard 1991)}$$



• La fonction de Weierstrass a le même exposant de Hölder en chaque point!

⇒ Fonction irrégulière très régulière!!

Fonctions pour lesquelles l'exposant de Hölder change radicalement d'un point à l'autre: **fonctions multifractales**. Calcul du spectre multifractal (donne une idée géométrique de la répartition des irrégularités).

- Base d'ondelettes de $L^2(\mathbb{R})$. Base orthonormée de la forme

$$\psi_{j,k}(x) = 2^{\frac{j}{2}} \psi(2^{j}x - k), \quad j, k \in \mathbb{Z}.$$

Ainsi, si $f \in L^2(\mathbb{R})$,

$$f=\sum_{j\in\mathbb{Z}}\sum_{k\in\mathbb{Z}}c_{j,k}\psi_{j,k} \text{ où } c_{j,k}=2^{\frac{j}{2}}\int_{\mathbb{R}}f(x)\psi(2^{j}x-k)dx.$$

$$\longrightarrow h_f(x) = \liminf_{j \to +\infty} \inf_k \frac{\log(|c_{j,k}|)}{\log(2^{-j} + |k2^{-j} - x|)} \quad \text{(Jaffard 1991)}$$

Avantage: Calcul de $h_f(x)$ plus simple et assez stable numériquement



• Le graphe de $W_{a,b}$ est très irrégulier, pas d'échelle d'observation privilégiée.

- Le graphe de $W_{a,b}$ est très irrégulier, pas d'échelle d'observation privilégiée.
- · Ensemble fractal

- Le graphe de $W_{a,b}$ est très irrégulier, pas d'échelle d'observation privilégiée.
- · Ensemble fractal
 - · contient des détails à n'importe quelle échelle

- Le graphe de $W_{a,b}$ est très irrégulier, pas d'échelle d'observation privilégiée.
- · Ensemble fractal
 - · contient des détails à n'importe quelle échelle
 - · possède souvent une certaine auto-similarité

- Le graphe de $W_{a,b}$ est très irrégulier, pas d'échelle d'observation privilégiée.
- · Ensemble fractal
 - · contient des détails à n'importe quelle échelle
 - · possède souvent une certaine auto-similarité
 - ne peut être décrit par le langage géométrique traditionnel (pas le lieu des points qui vérifient une condition géométrique, ou les solutions d'une équation simple)

- Le graphe de $W_{a,b}$ est très irrégulier, pas d'échelle d'observation privilégiée.
- Ensemble fractal
 - · contient des détails à n'importe quelle échelle
 - · possède souvent une certaine auto-similarité
 - ne peut être décrit par le langage géométrique traditionnel (pas le lieu des points qui vérifient une condition géométrique, ou les solutions d'une équation simple)
 - · obtenu par une procédure de récurrence simple

- Le graphe de $W_{a,b}$ est très irrégulier, pas d'échelle d'observation privilégiée.
- Ensemble fractal
 - · contient des détails à n'importe quelle échelle
 - · possède souvent une certaine auto-similarité
 - ne peut être décrit par le langage géométrique traditionnel (pas le lieu des points qui vérifient une condition géométrique, ou les solutions d'une équation simple)
 - · obtenu par une procédure de récurrence simple
 - est "grand" (non-dénombrable) mais en général a une mesure de Lebesgue nulle.
 - ightarrow la "dimension fractale" de l'ensemble est strictement supérieure à sa dimension topologique.

- Le graphe de $W_{a,b}$ est très irrégulier, pas d'échelle d'observation privilégiée.
- Ensemble fractal
 - · contient des détails à n'importe quelle échelle
 - · possède souvent une certaine auto-similarité
 - ne peut être décrit par le langage géométrique traditionnel (pas le lieu des points qui vérifient une condition géométrique, ou les solutions d'une équation simple)
 - · obtenu par une procédure de récurrence simple
 - est "grand" (non-dénombrable) mais en général a une mesure de Lebesgue nulle.
 - \rightarrow la "dimension fractale" de l'ensemble est strictement supérieure à sa dimension topologique.
- Les dimensions fractales prennent des valeurs non entières: traduire la manière dont un ensemble fractal occupe l'espace à toutes les échelles.

- Le graphe de $W_{a,b}$ est très irrégulier, pas d'échelle d'observation privilégiée.
- Ensemble fractal
 - · contient des détails à n'importe quelle échelle
 - · possède souvent une certaine auto-similarité
 - ne peut être décrit par le langage géométrique traditionnel (pas le lieu des points qui vérifient une condition géométrique, ou les solutions d'une équation simple)
 - · obtenu par une procédure de récurrence simple
 - est "grand" (non-dénombrable) mais en général a une mesure de Lebesgue nulle.
 - \rightarrow la "dimension fractale" de l'ensemble est strictement supérieure à sa dimension topologique.
- Les dimensions fractales prennent des valeurs non entières: traduire la manière dont un ensemble fractal occupe l'espace à toutes les échelles.
- · Dimension de Hausdorff et dimension de Minkowski (box-counting).

Soit $B \subset \mathbb{R}^n$ et s > 0.

Si $\delta > 0$, on dit que $(B_j)_{j \in \mathbb{N}}$ est un δ -recouvrement de B si

- $diam(B_i) \leq \delta$ pour tout $j \in \mathbb{N}$
- $B \subset \bigcup_{j \in \mathbb{N}} B_j$

Soit $B \subset \mathbb{R}^n$ et s > 0.

Si $\delta > 0$, on dit que $(B_i)_{i \in \mathbb{N}}$ est un δ -recouvrement de B si

- $\operatorname{diam}(B_i) \leq \delta$ pour tout $j \in \mathbb{N}$
- $B \subset \bigcup_{j \in \mathbb{N}} B_j$

On pose

$$\mathcal{H}^s_\delta(B) = \inf \left\{ \sum_{j \in \mathbb{N}} \operatorname{diam}(B_j)^s \ : \ (B_j)_{j \in \mathbb{N}} \ \delta - \text{recouvrement de } B \right\}.$$

et on définit la **mesure de Hausdorff** \mathcal{H}^s par

$$\mathcal{H}^s(B) = \sup_{\delta > 0} \mathcal{H}^s_{\delta}(B) = \lim_{\delta \to 0^+} \mathcal{H}^s_{\delta}(B)$$

· Mesures de Hausdorff: généralisations de la mesure de Lebesgue

$$\mathcal{H}^n(B) = c_n \mathcal{L}_n(B)$$
 où $c_n = \frac{\pi^{n/2}}{2^n \Gamma(n/2)}$.

· Mesures de Hausdorff: généralisations de la mesure de Lebesgue

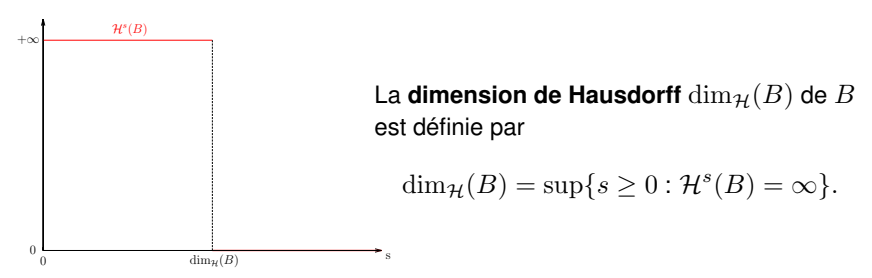
$$\mathcal{H}^n(B) = c_n \mathcal{L}_n(B)$$
 où $c_n = \frac{\pi^{n/2}}{2^n \Gamma(n/2)}$.

 Dimension de Hausdorff: permet de déterminer la mesure de Hausdorff la mieux adaptée à l'ensemble. Mesures de Hausdorff: généralisations de la mesure de Lebesgue

$$\mathcal{H}^n(B) = c_n \mathcal{L}_n(B)$$
 où $c_n = \frac{\pi^{n/2}}{2^n \Gamma(n/2)}$.

 Dimension de Hausdorff: permet de déterminer la mesure de Hausdorff la mieux adaptée à l'ensemble.

Il existe une valeur critique pour laquelle le graphe de $s\mapsto \mathcal{H}^s(B)$ "saute" de l'infini à 0.



La dimension de Hausdorff du graphe de $W_{a,b}$ vaut $2-\alpha$, où $\alpha=-\frac{\log a}{\log b}$.

La dimension de Hausdorff du graphe de $W_{a,b}$ vaut $2-\alpha$, où $\alpha=-\frac{\log a}{\log b}$.

Arguments.

• $\dim_{\mathcal{H}} \operatorname{Graphe}(W_{a,b}) \leq 2 - \alpha$

La dimension de Hausdorff du graphe de $W_{a,b}$ vaut $2-\alpha$, où $\alpha=-\frac{\log a}{\log b}$.

Arguments.

- $\dim_{\mathcal{H}} \mathsf{Graphe}(W_{a,b}) \leq 2 \alpha$
- $\dim_B \operatorname{Graphe}(W_{a,b}) = 2 \alpha$ (Kaplan, Mallet-Paret, Yorke 1984)

La dimension de Hausdorff du graphe de $W_{a,b}$ vaut $2-\alpha$, où $\alpha=-\frac{\log a}{\log b}$.

Arguments.

- $\dim_{\mathcal{H}} \mathsf{Graphe}(W_{a,b}) \leq 2 \alpha$
- $\dim_B \operatorname{Graphe}(W_{a,b}) = 2 \alpha$ (Kaplan, Mallet-Paret, Yorke 1984)
- $\dim_{\mathcal{H}} \operatorname{Graphe}(\widetilde{W}_{a,b}) = 2 \alpha$ avec une probabilité 1, où $\widetilde{W}_{a,b}$ est la fonction de Weierstrass avec une phase aléatoire uniforme (Hunt 1998)

La dimension de Hausdorff du graphe de $W_{a,b}$ vaut $2-\alpha$, où $\alpha=-\frac{\log a}{\log b}$.

Arguments.

- $\dim_{\mathcal{H}} \mathsf{Graphe}(W_{a,b}) \leq 2 \alpha$
- \dim_B Graphe $(W_{a,b})=2-lpha$ (Kaplan, Mallet-Paret, Yorke 1984)
- $\dim_{\mathcal{H}} \operatorname{Graphe}(\widetilde{W}_{a,b}) = 2 \alpha$ avec une probabilité 1, où $\widetilde{W}_{a,b}$ est la fonction de Weierstrass avec une phase aléatoire uniforme (Hunt 1998)
- $\dim_{\mathcal{H}} \text{Graphe}(W_{a,b}) = 2 \alpha$ pour tout entier b "suffisamment grand" (Biacino 2011)

La dimension de Hausdorff du graphe de $W_{a,b}$ vaut $2-\alpha$, où $\alpha=-\frac{\log a}{\log b}$.

Arguments.

- $\dim_{\mathcal{H}} \mathsf{Graphe}(W_{a,b}) \leq 2 \alpha$
- \dim_B Graphe $(W_{a,b})=2-lpha$ (Kaplan, Mallet-Paret, Yorke 1984)
- $\dim_{\mathcal{H}} \operatorname{Graphe}(\widetilde{W}_{a,b}) = 2 \alpha$ avec une probabilité 1, où $\widetilde{W}_{a,b}$ est la fonction de Weierstrass avec une phase aléatoire uniforme (Hunt 1998)
- $\dim_{\mathcal{H}} \mathrm{Graphe}(W_{a,b}) = 2 \alpha$ pour tout entier b "suffisamment grand" (Biacino 2011)
- Pour tout entier $b \geq 2$, il existe $\tilde{\lambda}_b < \lambda_b < 1$ tels que

$$\dim_{\mathcal{H}} \operatorname{Graphe}(W_{a,b}) = 2 - \alpha$$

pour tout $a\in]\lambda_b,1[$ et pour presque tout $a\in]\tilde{\lambda}_b,1[$ (Barańsky, Bárány, Romanowska, 2014)



Références



S. Banach.

Uber die Baire'sche Kategorie gewisser Funktionenmengen.

Studia Math., 3:174-179, 1931.



K. Barański, B. Bárány, and J. Romanowska.

On the dimension of the graph of the classical Weierstrass function.

Adv. Math., 265:32-59, 2014.



L. Biacino.

On the Hausdorff dimension of the graph of a Weierstrass type function.

Stud. Univ. Babecs-Bolyai Math., 4:7–17, 2011.



J.P.R. Christensen.

Topology and Borel structure.

North Holland, Amsterdam, 1974.



K. Falconer.

Fractal Geometry: Mathematical Foundation and Applications.

John Wiley & Sons, 1990.



G. Hardy.

Weierstrass's non-differentiable function.

Trans. Amer. Math. Soc., 17:301–325, 1916.



B. R. Hunt.

The Hausdorff dimension of graphs of Weierstrass functions.

Proc. Amer. Math. Soc., 126(3):791-800, 1998.

B.R. Hunt.

The prevalence of continuous nowhere differentiable functions.

Proc. Amer. Math. Soc., 122(3):711-717, 1994.

B.R. Hunt, T. Sauer, and J.A. Yorke.

Prevalence: a translation-invariant "almost every" on infinite-dimensional spaces.

Bull. Amer. Math. Soc. (N.S.), 27(2):217-238, 1992.

S. Jaffard and S. Nicolay. Pointwise smoothness of space-filling functions.

Appl. Comput. Harmon. Anal., 26:181-199, 2009.

P. Jiménez-Rodríguez, G. A. Muñoz-Fernández, and J. B. Seoane-Sepúlveda. On Weierstrass's monsters and lineability.

Bull. Belg. Math. Soc. Simon Stevin. 20(4):577-586. 2013.

S Mazurkiewicz Sur les fonctions non dérivables

Studia Math., 3:92-94, 1931.

Johan Thim.

Continuous Nowhere Differentiable Functions.

40147111111